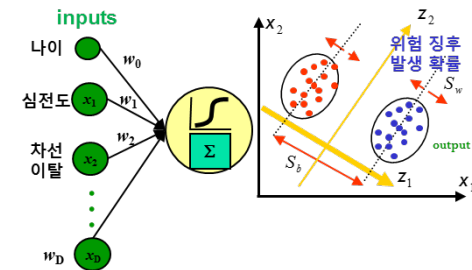


운전자 생체 신호 및 차량 주행 정보를 활용한 실차 주행 중 운전자 피로도 분석



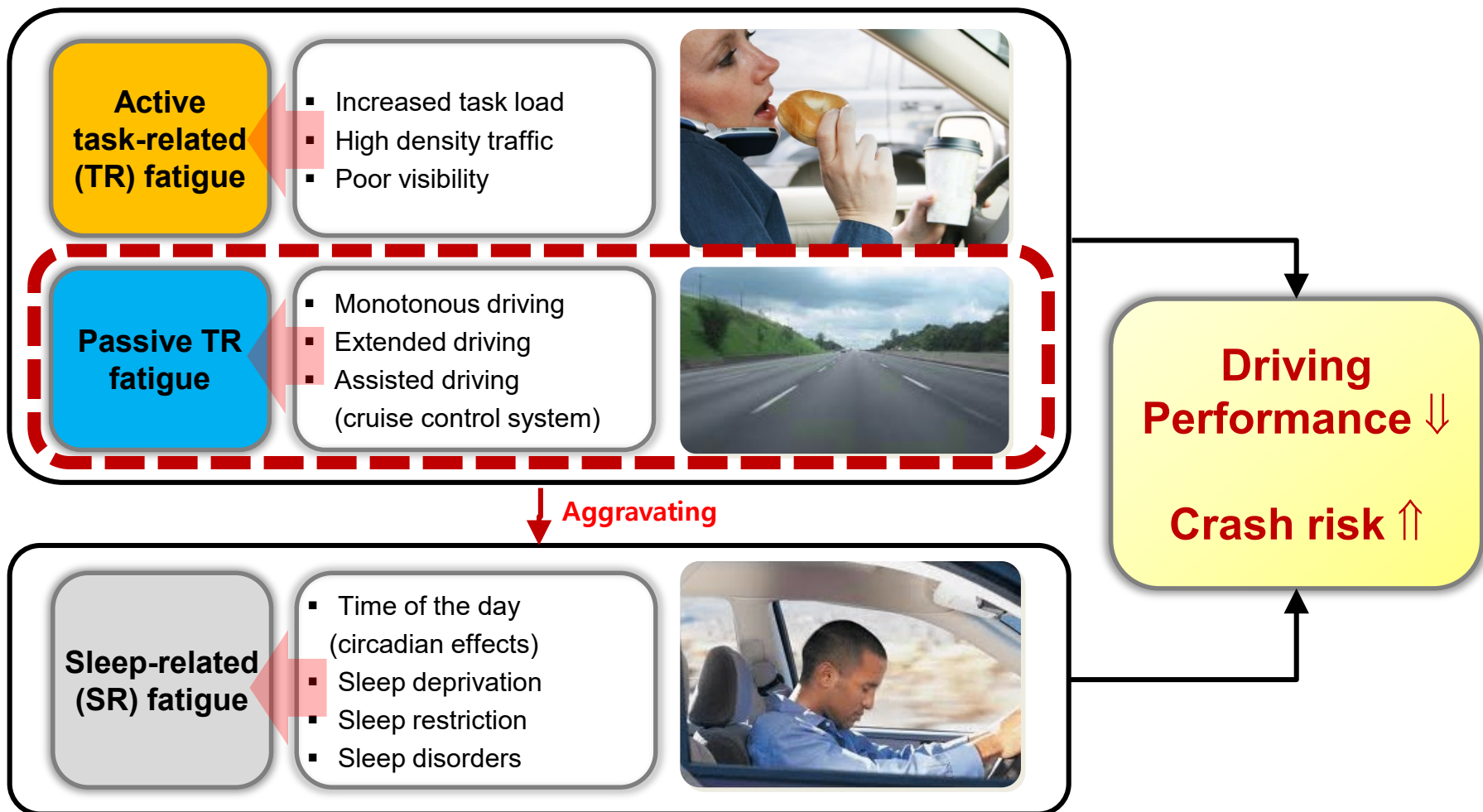
이승훈, 김민재, 고정배, 오지현, 유희천

Department of Industrial and Management Engineering, POSTECH, Pohang, 790-784

Contents

- **Introduction**
 - 연구 배경
 - 연구 목적
- **실차 주행 평가**
 - 실험 참여자
 - Experimental Protocol
 - 운전자 피로도 분석 절차
- **Results**
 - 운전자 피로에 의한 척도별 경향성
 - 운전자 피로 판별 모형
- **Discussion**

Driving Fatigue 유형: Active TR vs. Passive TR



출처: May and Baldwin (2009). Driver fatigue: The importance of identifying causal factors of fatigue when considering detection and countermeasure technologies. *Transportation Research*, 12(3), 218-224.

Passive TR Fatigue

- Passive TR fatigue 발생 상황: 단조로운 운전상황, 복잡하지 않은 고속도로 운전상황
- 장시간 단조로운 운전에 의해 passive TR fatigue가 심해질 경우, 졸음 운전 유발 (May and Baldwin, 2009) ⇒ 주행 능력 ↓, 사고 발생률 ↑

Monotonous driving

Passive TR fatigue

Accident



Brain deactivation
Drowsy driving

Inactive eye-blink pattern

Driving alertness ↓
Brake reaction time ↓

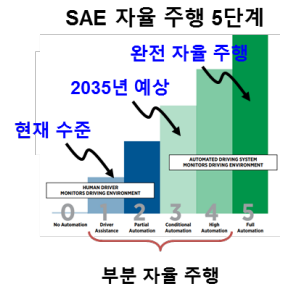
자율 주행 차량의 Passive TR Fatigue

- 부분 자율 주행은 운전의 단조로움을 가중시켜 운전자의 passive TR fatigue ↑
- 선행 연구는 자율 주행에 의한 운전자의 객관적 및 주관적 피로도 증가 확인

✓ 객관적 평가

- 생리학적 평가: 동공 지름 ↑, 눈 깜빡임 빈도 ↑, 눈 깜빡임 속도 ↑
- 주행 능력 평가: SD of lane position (i.e., 차선 위치의 변동) ↑, 반응 시간 ↑

✓ 주관적 피로도 ↑



Standard deviation of lateral position (SDLP)

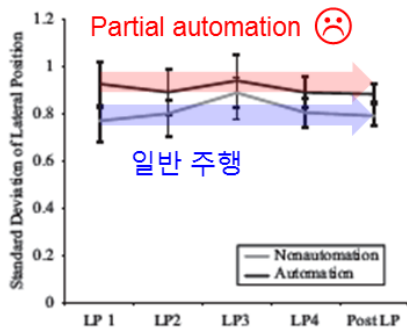


Figure 4. Standard deviation of five lateral positions (LPs) for both experimental groups. Error bars are standard errors.

Reaction time

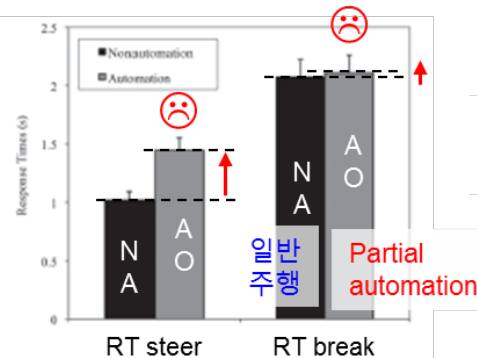
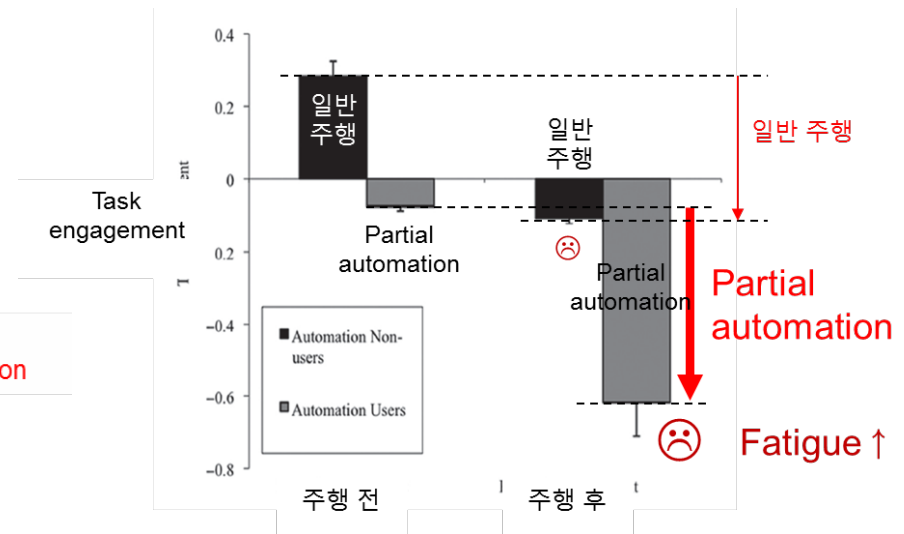


Figure 5. Response times (RTs) for steering and braking in the automation optional and nonautomation conditions. Error bars are standard errors.



차량내 운전자 상태 측정 기술

- 주행 능력(e.g., lane position)과 생리신호(e.g., EEG)에 기반하여 졸음을 경고하는 시스템이 활발히 개발되고 있음



ABM Drowsiness Monitoring Device

ECG



차량 내부 sensor 장착

Driving performance



Mercedes-Benz Attention Assist



Non-Intrusive (Comfortable)



Engine Driver Vigilance Telemetric Control System



Driver fatigue monitor DD850

연구 목적

운전자 생체 신호 및 차량 주행 정보를 활용한 실차 주행 중 운전자 피로도 분석

- 운전자 피로 분석을 위한 실차 주행 평가 protocol 수립
- 실차 주행 평가 수행($n = 11$)
- 피로에 의한 평가 척도(주행 능력, 생체 신호)별 경향성 분석
- 운전자 피로 판별 모형 개발

실험 참여자

- 인원: 20 ~ 50대 11명(남: 6, 여: 5)
- 모집 기준: (1) 운전 경력 2년 이상, (2) 심혈관계 질환이 없는 자, (3) 실험 당일 카페인 섭취 금지, (4) 실험 전날 4시간 이상 수면
- 실험의 위험성과 사고 대책에 대한 서면 고지

실험 참여 동의서

[POSTECH IRB 서식 4-1] 인간대상연구 피험자 동의서

인간대상연구 피험자 동의서

기본 정보				
연구 과제명	Seat motion system의 운전자 피로 저감 효과 실차 주행 평가			
연구 책임자	성명	소속	직위	전화번호
	유종원	산업경영공학과	교수	인근대학
	전화번호: 054-279-2210		이메일: mcyou@postech.ac.kr	

본 연구는 피로저감 시트 시스템 개발 및 검증에 대한 연구입니다. 귀하는 본 연구에 참여할 것인지 여부를 결정하기 전에, 설명서와 동의서를 신중하게 읽어보셔야 합니다. 이 연구가 왜 수행되며, 무엇을 수행하는지 귀하가 이해하는 것이 중요합니다. 이 연구를 수행하는 길만해 연구원이 귀하에게 이 연구에 대해 설명해 줄 것입니다. 이 연구는 자율적으로 참여 의사를 밝히신 분의 참여에 수행 될 것입니다. 다음 내용을 신중히 읽어보신 후 참여 의사를 밝히 주시길 바랍니다. 필요하시면 가족이나 친구들과 의논해 보십시오. 민원 해결한 후 참여 하시면 담당 연구원이 자세하게 설명해 줄 것입니다.

귀하의 서명은 귀하가 본 연구에 대해 그리고 위험성에 대해 설명을 들었음을 의미하며, 이 문서에 대한 귀하의 서명은 귀하께서 자진(또는 법정대리인)이 본 연구에 참가를 원한다는 것을 의미합니다.

1. 본 연구는 오로지 연구만을 목적으로 수행됩니다.

2. 연구에 배경 및 목적

본 연구는 주행 중 발생하는 피로를 저감시키기 위해 피로 저감 효과를 유도하는 시트 요선 시스템의 피로 저감 효과를 객관적 및 주관적으로 비교 평가하여 주행 안전성 및 사용성을 개선 및 검증하고자 하는 연구입니다. 인간공학적 평가에 근거하여 개발 및 검증된 피로 저감 요선 시트 시스템은 운전자의 주행 피로 발생을 줄일시키고 주행 안전성을 향상시켜 운전 중 출몰로 인한 사고 예방에 기여할 수 있습니다.

3. 예상 참여기간 및 본 연구에 참여하는 대략의 전체 피험자 수

본 연구는 2018년 1월 16일부터 2018년 12월 31일까지 진행되며 1인당 6시간 동안 평가가 진행됩니다. 본 연구는 20 ~ 50대의 운전면허증이 있고 운전 경험이 2년 이상인 운전자를 대상으로 30명을 모집하여 평가가 진행됩니다.

4. 본 연구에 참여하게 됨으로써 받게 되는 검사 및 절차

vr 2.0 04x 2017

IRB 심사 승인

[POSTECH IRB 서식 14] 심의면제통보서

심의면제통보서

수신	책임연구자	성명	유형	소속	산업경영공학과	직위	교수
면제 번호	PIRB-2018-E090						
연구과제명	Seat motion system의 운전자 피로 저감 효과 실차 주행 평가						
연구종류	<input checked="" type="checkbox"/> 인간대상연구 <input type="checkbox"/> 인체유래물연구						
면제일자	2018년 1월 19일						

상기 연구과제에 대하여 본 위원회에서는 심의면제대상임을 확인합니다.

* 모든 연구자들은 아래의 사항을 준수하여야 합니다.

- 연구자께서는 계속적인 계획서에 따라 연구를 수행하여야 하며, 이와 다르게 연구를 진행하신 경우 다시 심의를 진행하셔야 함을 유의하시기 바랍니다.
- 위원회의 요구된 것을 제외한 연구의 진행과 관련된 보고 및 위원회에 제출하여야 합니다.
- 연구윤리위원회 관련부처가 필요시 조사 및 감독 차원에서 현장점검을 실시할 수 있습니다.
- 연구와 관련된 개인은 연구가 종료된 시점을 기준으로 최소 3년간 보관하여야 합니다.

2018년 1월 19일

포항공과대학교 생명윤리위원회 위원장

주행 평가 환경

- **교통량:** 9:00 AM ~ 18:00 PM에서 포항-대구 고속도로의 **교통 혼잡도 낮음**
 - ✓ 평균 통행시간/자유류 통행 시간(≤ 1 : 원활): 0.88 ~ 1.06
 - ✓ 포항-대구 통행 시간 평균: 48분(자유류 통행 시간: 46분)
- **평가 시간대:** 12:00 ~ 18:00 PM를 포함
 - ← human performance & alertness level ↓ (Williamson & Friswell, 2011)
- **날씨:** 비/눈/안개/돌풍 등이 없는 **맑은 날씨 & 노면이 젖어있지 않은 상태**
 - ⇒ 운전자의 시야와 주행 안전성 확보
- **실험 중단:** **주행 안전에 영향이 있는 경우** 운전자 또는 진행자에 의해 **평가 중단**
(실험참여자가 주행을 지속할 수 없다고 판단되는 경우)

주행 평가 Task

- 교통량이 적은 단조로운 고속도로 환경에서 주행
 - ✓ 경로: 포항 TG (출발) → 팔공산 IC 부근 (회차) → 포항 TG (도착)
 - ✓ 거리: 139.9 km (소요 시간: 약 90분)
 - ✓ 속도: 약 100 ± 10 km/h 유지
 - ✓ 주행 차로: 2차선 유지(교통 흐름에 방해받을 경우 차선 변경하여 주행 가능)

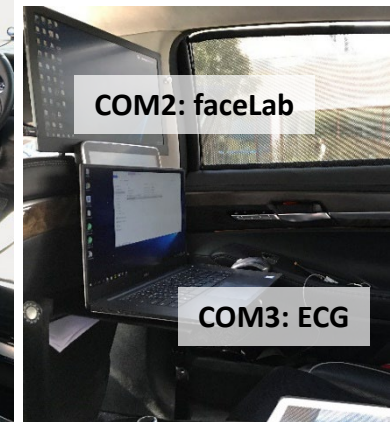
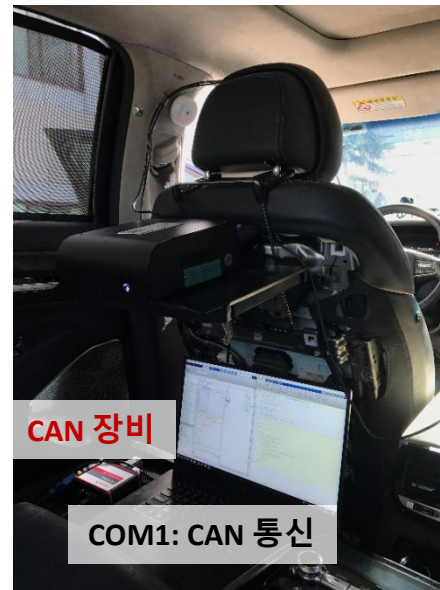
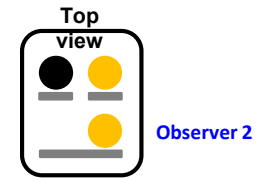
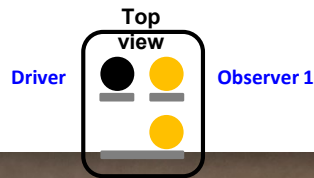


회차 지역(약 300m, 1분 소요)



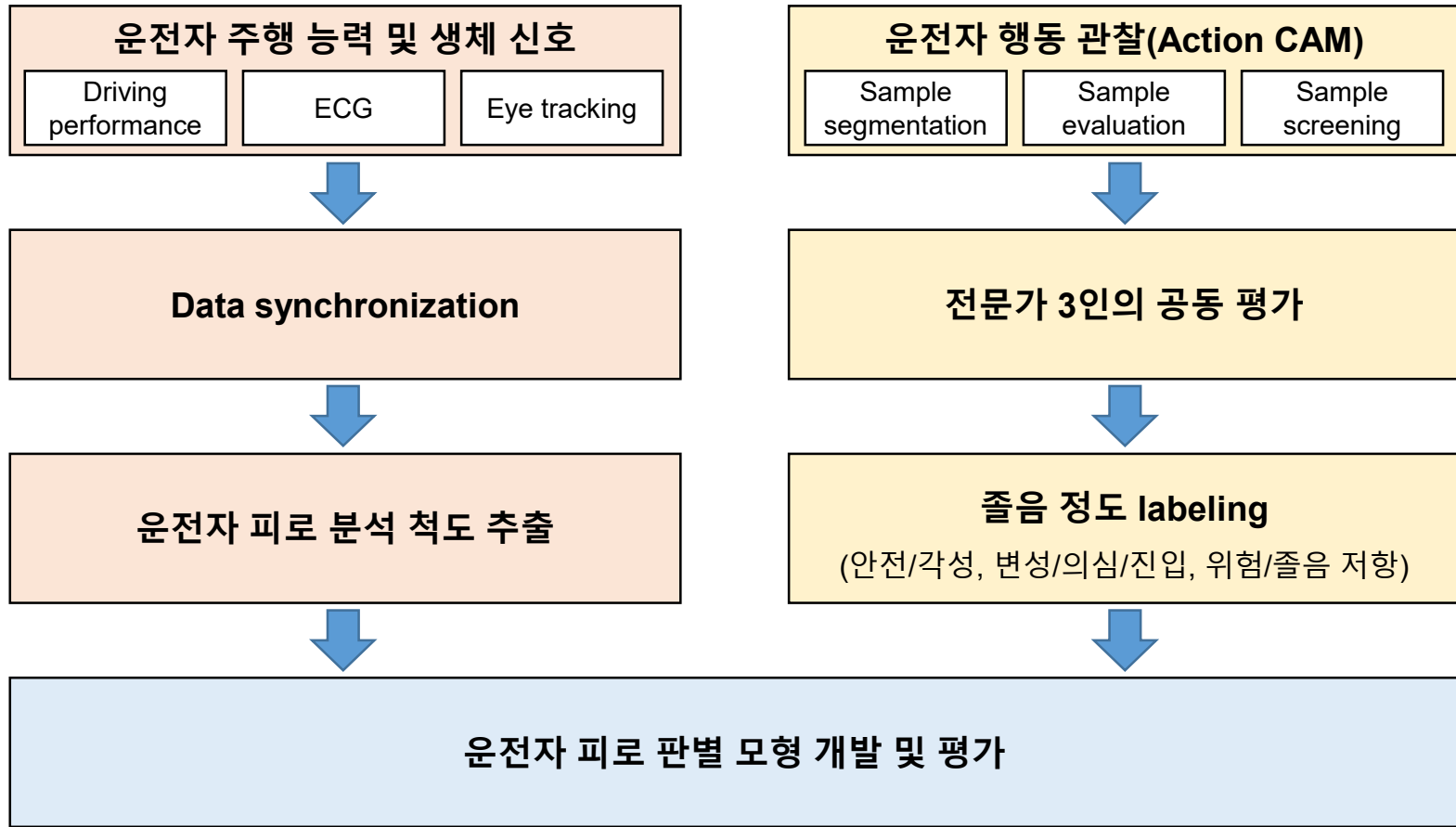
실차 평가 환경 및 실험 장비

- **CAN 통신** (VN 1630A, Vector, Germany): 차량 주행 정보
- **faceLAB** (Seeing machine, EKSTREM): eye tracking
- **ECG** (Noraxon Telemetry DTS, Noraxon Inc., USA): 심전도 측정
- **Action CAM** (HDR-AS200, SONY, Japan): 운전자 행동 관찰



운전자 피로 분석 절차

- 운전자 피로 분석 및 판별 모형 개발 framework



분석 절차: 운전자 피로 분석 척도 추출

- 일정 간격(1 km)의 주행 구간별 운전자 피로 분석 척도 추출
- 끼어들기, 사고 구간, 급 제동 등과 주행 시작 직후와 종료 직전 구간 분석 제외

The screenshot shows a detailed data table with columns for Time (reference), Distance (reference), and various driving performance metrics. A car icon is visible in the middle of the table, and there are some annotations like '차량 주행 정보' and 'faceLAB'.

주행 구간별 피로 척도

Driving performance

faceLAB

13	1 2000	73015	83273	15.0350	5.9218	0.1749	1.0578	-0.2901	0.5478	-1.0590	15.5583	63.1771	63.1041	753.5054	77.6402	22.1964	22.4928	79.1876	112.4570	0.7042	4.6767	
14	1 3000	1 4000	221933	223143	13.1155	4.8955	-0.3997	0.8190	0.2074	-5.3721	12.8731	72.3768	58.6170	857.6774	68.7446	192.8538	271.8053	4.6496e+03	943.3719	2.1803	2.7325	
15	1 4000	1 5000	233415	247789	11.137	4.0137	0.1137	0.3569	0.5814	-0.7000	9.7000	61.82	805.9833	71.2378	66.3917	83.8383	770.7255	1.8034e+04	0.3164	0.0835	PERCLLOS	
16	1 5000	1 6000	247789	251868	9.8049	2.3794	0.1	0.2139	-0.3962	-0.5421	0.7963	6.5003	733.9487	79.6731	36.1022	31.9592	274.2929	338.3129	0.8108	0.0		
17	1 6000	1 7000	251868	256259	35.0113	5.0208	0.2110	0.2488	0.2667	-0.2895	-0.2966	0.2845	3.6270	842.1818	64.2023	59.2022	44.6368	1.0331e+03	1.0799e+03	0.9567	0.0484	
18	1 7000	1 8000	256259	260200	38.9258	4.1631	0.1638	0.2106	-0.5138	0.5001	-0.2840	0.2651	1.5115	3.0318	67.8867	67.8867	67.8867	67.8867	67.8867	67.8867	0.1698	
19	1 8000	1 9000	260200	265281	30.2207	4.1811	0.1112	0.2924	-0.1290	0.7148	-0.5116	1.0123	3.9005	5.6697	1.981	HR	SDN	RMSSD	LF	HF	LF/HF	
20	1 9000	2	265281	269402	37.2484	5.1613	0.1330	0.1768	0.3152	0.7699	-0.4041	0.2656	1.5399	3.3717	819.5152	68.2994	209.0271	1.3110e+03	9.9260e+03	0.1323	1.4989	
21	2	2 1000	269402	275509	24.9086	8.1267	0.1289	0.1467	-0.5464	0.4663	-0.3122	0.2359	1.0046	3.2869	832.6667	66.3778	29.4080	28.8275	202.5933	347.7322	0.5826	3.1949
22	2 1000	2 2000	275509	289843	9.9006	4.9528	0.1671	0.1374	-0.0970	0.4156	-0.1895	0.8193	9.7602	23.8107	803.1545	73.2928	57.1637	82.1680	862.8391	2.0408e+03	0.4228	6.0956

구간
(1 km 간격)

HRV

분석 절차: 피로 발생 구간 탐색

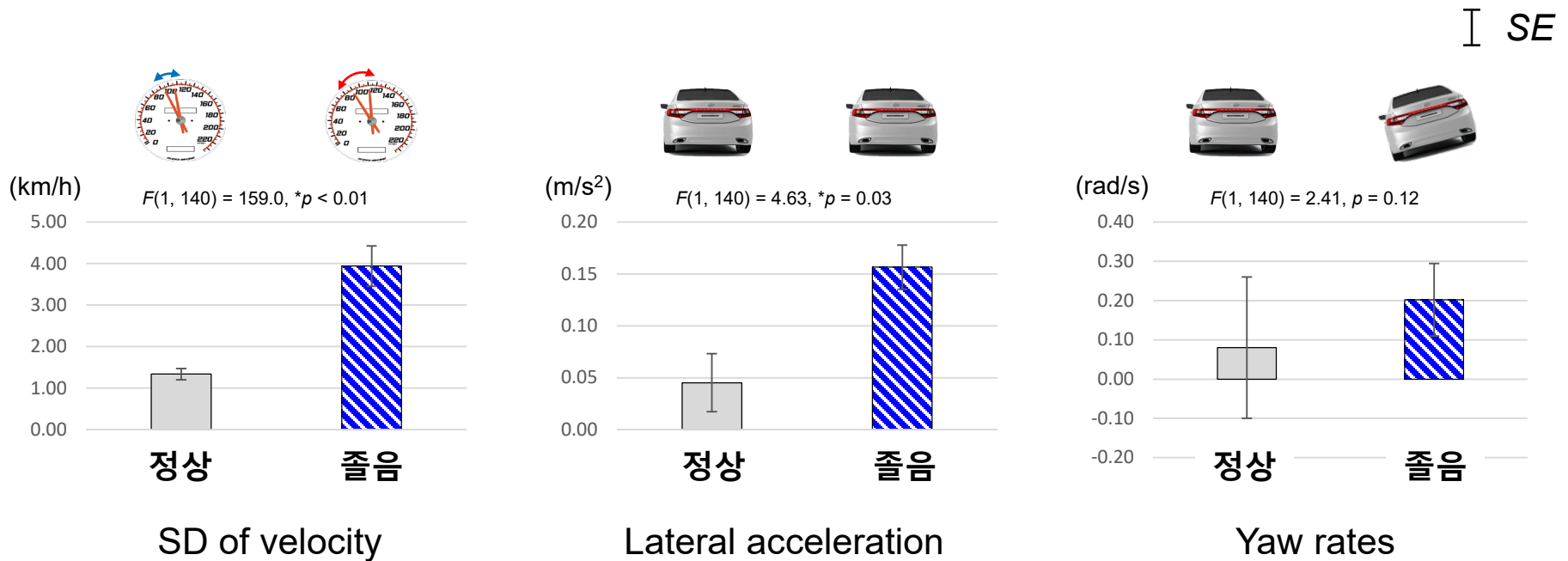
- 선행 연구 참조하여 졸음 단계별 운전자 행동 파악(예: Epworth, Stanford 졸음 척도)
- 연구진 3인의 공동 평가를 통해 정상, 졸음 판별

	1단계 (안전/각성)	2단계 (변성/의심/진입)	3단계 (위험/졸음 저항)
	졸음 없음	졸음을 깨기 위한 행동 할 수 있음	의지와 상관없이 졸음 나타남
눈	<ul style="list-style-type: none"> 안정된 주기 깜빡임 	<ul style="list-style-type: none"> 눈에 힘을 줌/눈썹 치켜 올림 깜빡임 빈도 ↑ 	<ul style="list-style-type: none"> 눈꺼풀이 반 이상 감김
고개/얼굴	<ul style="list-style-type: none"> 정면 유지 	<ul style="list-style-type: none"> 좌우로 흔들 얼굴 찡그림 	<ul style="list-style-type: none"> 고개 떨굼
입	<ul style="list-style-type: none"> 입을 닫은 상태 입을 벌려도 곧바로 닫음 	<ul style="list-style-type: none"> 하품/큰 숨 호흡 아! 소리를 냄 	<ul style="list-style-type: none"> 2초 이상 입을 벌린채 유지
손	<ul style="list-style-type: none"> Steering wheel, gear, 다리 위에 둠 	<ul style="list-style-type: none"> 코나 입을 만짐 머리 긁음 	<ul style="list-style-type: none"> Steering wheel에서 떨어짐
자세	<ul style="list-style-type: none"> 정 자세 자세를 틀어도 정자세로 돌아옴 	<ul style="list-style-type: none"> 한 쪽으로 처짐 들썩거림 	<ul style="list-style-type: none"> 정상 운전을 하지 못하는 상태 (예: 차선 유지, 속도 유지)



피로 경향: Driving Performance

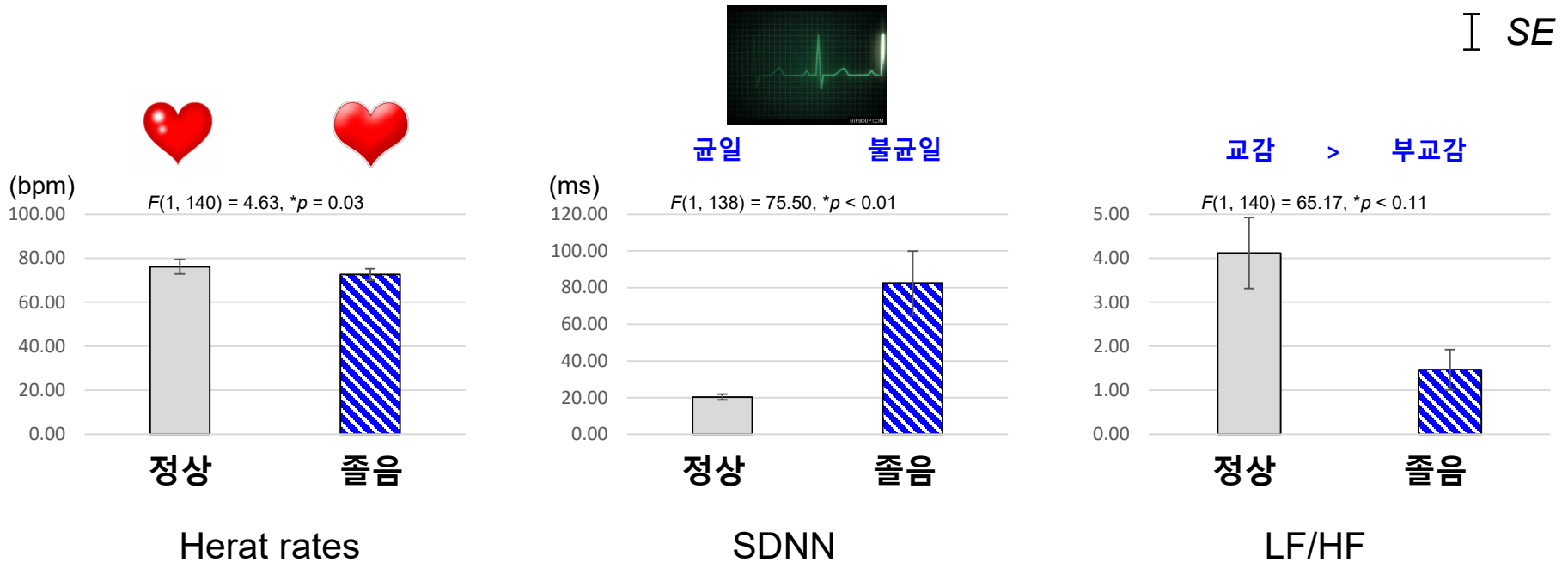
- 정상 대비 졸음 시 **속도 편차, 횡가속도, yaw rates**가 평균적으로 약 3.0배 증가
 - ✓ **SD of velocity:** 정상(1.34 ± 0.14 km/h) 대비 졸음(3.94 ± 1.49 km/h) 시 2.9배 증가
 - ✓ **Lateral acceleration:** 정상(0.05 ± 0.03 m/s²) 대비 졸음(0.16 ± 0.02 m/s²) 시 3.5배 증가
 - ✓ **Yaw rates:** 정상(0.08 ± 0.18 rad/s) 대비 졸음(0.20 ± 0.09 rad/s) 시 2.5배 증가



* Significance $\alpha = 0.05$

피로 경향: ECG

- 정상 대비 졸음 시 심박수 감소, 심장 박동의 변이 증가, 교감 신경계 작용 감소
 - ✓ **Heart rates:** 정상(76.20 ± 3.35 bpm) 대비 졸음(72.62 ± 2.59 bpm) 시 1.05배 감소
 - ✓ **SDNN:** 정상(20.36 ± 1.62 ms) 대비 졸음(82.50 ± 17.44 ms) 시 4.1배 증가
 - ✓ **LF/HF:** 정상(4.12 ± 0.80) 대비 졸음(1.47 ± 0.46 rad/s) 시 2.8배 감소



* Significance $\alpha = 0.05$

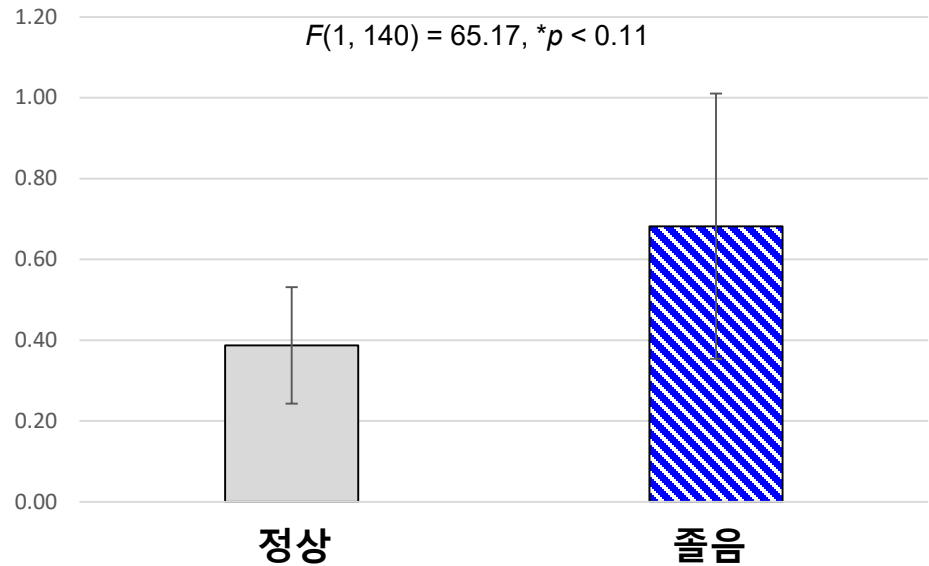
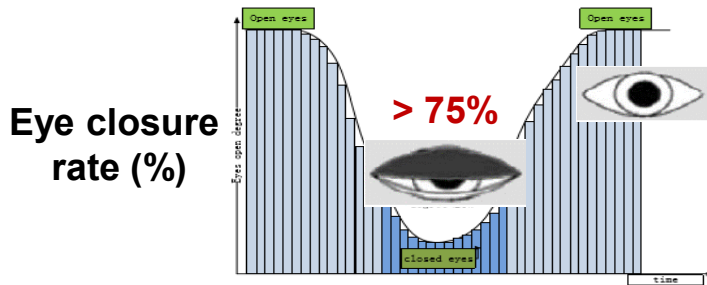
피로 경향: PERCLOS

- 정상(0.39 ± 0.14) 대비 졸음(0.68 ± 0.33) 시 PERCLOS가 1.8배 증가
 - ✓ 주행 중 눈꺼풀이 75% 이상 감긴(blinking 제외) 구간의 비율
 - ✓ Fatigue $\uparrow \rightarrow$ Eye closure rate (%) ≥ 0.75 비율 \uparrow

I SE

PERCLOS (%)

Percentage of eye closure rates



* Significance $\alpha = 0.05$

운전자 피로 판별 모형

- 모든 평가 척도를 사용한 경우 판별 성능이 92.9%로 가장 높음
 - ✓ Classification learner: support vector machine
 - ✓ Data: 141개 중 약 80% (113개)를 무작위로 선별, 나머지는 성능 평가에 사용

Features			Expert Classification	Detection Results		Overall performance
Driving	ECG	PERCLOS		Awake	Drowsy	
○	-	-	Awake	92.0%	8.0%	88.5%
			Drowsy	14.0%	86.0%	
○	○	-	Awake	98.0%	2.0%	91.2%
			Drowsy	14.0%	86.0%	
○	○	○	Awake	98.0%	2.0%	92.9%
			Drowsy	11.0%	89.0%	

- 평가 성능: 92.9%

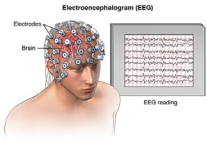
→

	Awake	Drowsy
Awake	93.8%	6.3%
Drowsy	8.3%	91.7%

Discussion

■ 피로에 의한 평가 척도별 경향성 분석

- ✓ 운전자의 **주행 능력 감소**, 심장 박동의 **변이 증가**, **눈꺼풀이 감긴 구간 증가**
- ✓ **실차 주행**에서도 선행 연구에서 파악된 **피로에 의한 척도별 증감 경향이 동일하게 파악되었음**

Fatigue Assessment Tools		Measures	Tendency	Reference
Physiological Indicators	 EEG	α band β band δ band θ band	\uparrow - - \uparrow	Michail et al., 2008; Eoh et al., 2005; Jap et al., 2011; Yvonne et al., 2010; Cao et al., 2010; Zhao et al., 2011
	 ECG	Heart rate (HR) NN interval (IBI) SDNN LF/HF	\downarrow \downarrow \downarrow \uparrow	Oron-Gilad et al., 2008; Ahsberg et al., 2000; Lai and Craig, 2001; Patel et al., 2011
	EDA (Skin conductance)	Tonic SCR	\downarrow	Lim et al., 1996
Psychomotor and Mental Tests	PVT	Reaction time	\uparrow	Gunzelmann et al., 2011; Horrey and Wickens (2006)
Eye Movement	 EOG	Amplitude Blinking rate Closing duration PERCLOS	\downarrow \uparrow \uparrow \uparrow	Lal and Craig, 2001b; Wijesuriya, et al., 2007; Svensson, 2004; Santamaria & Chiappa, 1987; Dinges et al., 1998;
Driving Performance	 Steering wheel control	Angular position Steering wheel rate Yaw rate	\uparrow \uparrow \uparrow	Thiffault and Bergeron, 2010; He et al., 2011
	 Lateral position control	Lateral position Lateral velocity Lateral acceleration	\uparrow \uparrow \uparrow	Pilutti and Ulsoy, 1999; Thiffault and Bergeron, 2010

Discussion

- **운전자 피로 평가/분석 protocol 정립**

- ✓ 실차 주행 시 피로에 의해 **민감하게 변화하는 유관 척도와 피로 경향성 분석**
- ✓ 주행 수행도와 생리학적 신호를 **종합적으로 고려한 피로 평가/분석**

- **Applications**

- ✓ 운전자의 피로도를 **조기에 파악하여 교통 사고 발생 예방에 기여**
- ✓ 특히, **대형 운송 차량**(예: 버스, 화물 트럭) 운전자의 **졸음 운전은 빈번히 발생**하며, 일단 사고가 발생하면 **매우 큰 인명피해를 야기**하므로 적용성이 높음
- ✓ 자율 주행 차량에서 **운전자의 상태에 따라 제어권 전환 여부 판별**